一种依据簇首可选度进行簇首选举的车联网分簇算法

蒋守凤¹ JIANG Shoufeng

摘要

车联网中车辆的高速移动性导致网络拓扑具有强动态变化性,簇首的频繁更换会降低网络整体性能。为 选举出相对稳定的簇首,考虑模糊理论与车联网分簇算法中多因素制约簇首选举的契合性,文章提出了 一种依据簇首可选度进行簇首选举的车联网分簇算法,将车辆节点间距离、车辆相对移动速度和车辆的 相对方向数作为簇首选举的影响因素,并对簇首选举、簇建立和簇维护过程进行了设计。仿真结果表明,所提的算法中簇首选举成功后维持时间相对较长,有利于车联网络稳定性。

关键词

车联网;车辆通信;模糊理论;簇首选举;分簇算法

doi: 10.3969/j.issn.1672-9528.2024.11.018

0 引言

车联网(internet of vehicles, IoV)被定义为由车辆的位置、行驶路线、速度等信息构成的信息化交通网络,依靠移动通信技术,实现车与车、车与设备等其他事物的互联,网络规模庞大,是未来智能交通系统的重要组成部分[1]。在城区交通系统中,道路状况相对复杂,特别是道路交叉地段

1. 内蒙古电子信息职业技术学院 内蒙古呼和浩特 010070 [基金项目] 2022 年内蒙古电子信息职业技术学院科研项目"车联网分簇算法的研究"(KZY202203)

有十字、环路等路况,车辆有直行、转向和等待等情况,有数百甚至更多的车辆行驶、聚集^[2]会有数百甚至更多的车辆行驶和聚集,并具有速度快、移动性强等特点^[3],为缓解车辆对路边单元(road side unit,RSU)的信息交互,减少数据传输的压力,车联网中车辆之间经常采用车对车(vehicle-tovehicle,V2V)通信,降低整个车联网的数据传输消耗。

车联网通信可通过分簇算法将车辆进行逻辑划分成簇,按某种方法选定簇首作为簇内车辆与 RSU 通信的媒介,寻找 V2V 和车辆与 RSU 之间最优路径,节省网络开销,满足车联网低时延、高可靠性的要求 ^[4]。由于车联网拓扑动态变化

5 结语

随着城市公共空间智能计算机网络监控系统的布署,对于特定环境下目标对象的感知识别成为监控管理关注的重要问题。基于计算机网络监控摄像机、Faster-RCNN深度学习算法,将采集的帧图像转换为可识别像素特征的纹理图、灰度图,利用RCNN回归器作出目标图像像素的框选与灰度特征提取,在池化层按照设定的池化窗口大小、移动步长作出下采样降维计算,并使用Softmax分类器将目标像素灰度、基准图像灰度形成特征匹配,得到的目标像素灰度识别精度更高,损失函数值更优,能够实现更良好的网络监控目标识别效果。

参考文献:

[1] 周永丽. 基于大数据技术的视频监控应用探讨 [J]. 现代工业经济和信息化,2019, 19(5):63-64+77.

- [2] 李楠. 智慧监控在高速公路信息化中的应用 [J]. 中国交通信息化,2019(5):32-34.
- [3] 姜旭东,宋本扬,杜泽永,等.基于图像识别技术的龙溪口航电工程智能视频监控系统设计[J]. 水运工程, 2023(10):183-187.
- [4] 王景.基于深度学习算法的视频监控人脸识别系统研究[J]. 长江信息通信,2023,36(8):128-131.
- [5] 赵杰. 基于深度学习的人脸识别算法在视频监控的应用研究 [J]. 电子设计工程, 2023, 31(13):182-186.
- [6] 刘嘉敏,郑超,张丽梅,等.基于图像重构特征融合的高光 谱图像分类方法[J].中国激光,2021,48(9):203-212.

【作者简介】

郝春云(1985—), 女,河南周口人,硕士,讲师,研究方向: 计算机科学与技术。

(收稿日期: 2024-06-06)

性较强^[5],网络中车辆与 RSU 通信依靠簇首车辆信息转发, 簇首的选择及维持稳定对网络低通信开销和低时延起到了重 要的作用,研究能维持网络相对稳定的车联网分簇算法具有 一定的意义。

考虑到分簇过程中车辆节点是否能够胜任簇首这一职务 受多种因素影响,本文将模糊理论^[6]应用于车联网分簇算法, 提出一种依据簇首可选度进行簇首选举的车联网分簇算法, 得到一个利于车联网稳定的分簇路由算法。

1 依据簇首可选度进行簇首选举的车联网分簇算法

以城区场景为研究背景,所有车辆节点都拥有一个唯一的 ID 号,都具有全球定位系统来获取车辆的实时位置信息,都安装了可以获得其行驶状态信息的传感器,都携带车联网通信模块 ^[7]。

车辆 i 的坐标为 (x_i, y_i) ,移动速度分别为 v_i , $R_{i,j}$ 车辆 i 和车辆 j 相对距离, $V_{i,j}$ 为车辆 i 和车辆 j 相对速度, $D_{i,j}$ 为车辆 i 和车辆 j 相对方向。假设车辆的最大通信半径 R_{max} 内有 n 辆车进行通信。

1.1 因素选定

1.1.1 车辆节点间距离

从簇首候选者到通信半径的所有其他车辆的距离为车辆节点间距离,节点间距离短代表簇首与其他车辆彼此靠近,这有利于实现簇的稳定^[8]。两车辆节点相对距离 $R_{i,j}$ 的公式为:

$$R_{i,j} = \sqrt{(x_i - x_j)^2 + (y_i - y_j)^2}$$
 (1)

计算车辆 x 与周围其他车辆的车辆间距离,则车辆 x 节点间距离 VR_x 计算公式为:

$$VR_{x} = \frac{1}{n-1} \sum_{i=1}^{n} R_{x,i} \quad i \neq x$$
 (2)

车辆 x 节点间距离的归一化:

$$CR_{x} = \frac{VR_{x} - VR_{min}}{VR_{max} - VR_{min}}$$
(3)

式中: VR_{max} 和 VR_{min} 是范围内车辆节点间最大和最小距离。 1.1.2 车辆相对移动速度

簇首候选者的相对移动速度较高,则表示簇首候选者离开当前簇的可能性较高,将当前簇推向重选簇首的可能性大,影响簇的稳定性^[8]。当知道通信范围内所有车辆的速度信息,可计算两辆车的相对速度 V_{Li} ,其公式为:

$$V_{i,j} = \frac{\min\{|v_i|, |v_j|\}}{\max\{|v_i|, |v_j|\}}$$

$$\tag{4}$$

计算车辆 x 与周围其他车辆的车辆相对移动速度 VV_x 计算公式为:

$$VV_{x} = \frac{1}{n-1} \sum_{i=1}^{n} V_{x,i} \quad i \neq x$$
 (5)

车辆 x 相对移动速度归一化为:

$$CV_x = \frac{VV_x - VV_{min}}{VV_{max} - VV_{min}}$$
(6)

式中: VV_{max} 和 VV_{min} 是范围内车辆节点最大和最小相对移动速度。

1.1.3 车辆的相对方向数

簇首候选者在簇中与大多数车辆的移动方向相反,则其离开周围车辆的概率较大,网络拓扑变化性加大,会增加网络开销,显著降低网络效率。两车辆的相对方向 $D_{i,j}$ 计算公式为:

$$D_{i,j} = \cos \theta = \frac{v_i \cdot v_j}{|v_i| \cdot |v_j|} \tag{7}$$

本文使用存储函数 N 对与车辆 x 运动方向相同的车辆进行数量存储,当 $-\pi/4 \le \theta \le \pi/4$ 时,则认为两车辆运动方向相同, N_x 值加 1,车辆 x 运动方向相同的汽车越多,说明其作为簇首越稳定。车辆 x 的相对方向数 VD_x 的计算公式为:

$$VD_x = \frac{N_x}{n} \tag{8}$$

车辆 x 相对方向数的归一化:

$$CD_x = \frac{VD_x - VD_{min}}{VD_{max} - VD_{min}}$$
(9)

式中: VD_{max} 和 VD_{min} 单位内车辆节点最大和最小的相对方向数。

1.2 簇首选举

1.2.1 车辆节点信息获取

网络初始阶段,默认所有车辆都是孤立状态,在k跳(数据包生命周期)范围,每辆车周期性的广播包含节点 ID、车辆行驶速度、车辆位置信息和当前跳数(初次广播时跳数为0)的 HELLO 包。车辆收到其他车辆的 HELLO 包后保存,根据包内容建立邻居列表 ^[9] 如表 1 所示。

表 1 车辆节点邻居列表

节点 ID	车辆行驶速度	车辆位置信息	跳数
i	v_i	(x_i, y_i)	k
•••		•••	•••
j	v_j	(x_j, y_j)	k

1.2.2 簇首选举

(1) 确定因素集及相应的权重向量

在簇首选举过程,确定车辆节点间距离 CR、车辆相对移动速度 CV 和车辆的相对方向数 CD 为利用模糊理论综合评判法对簇首选举的因素集 $U = \{CR, CV, CD\}$,取权重向量 $A = (a_1, a_2, a_3)$ 。

(2) 确定评语集

评语集 V = (1, 2, 3), 与各因素的对应关系如表 2。

表 2 评语集与各因素的对应关系

评语集	车辆节点间距离	车辆相对移动速度	车辆的相对方向数
3	近	慢	多
2	中	中	中
1	远	快	少

(3) 确定各个因素对评语集的隶属度函数

选择三角形隶属函数^[10],为了保证簇首稳定,尽可能选择节点车辆节点距离近、车辆相对移动速度慢和车辆的相对方向数多的节点做簇首,输入参数的隶属度函数如图1~图3。

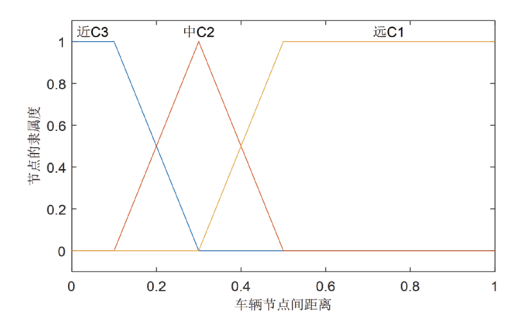


图 1 车辆节点距离的隶属函数

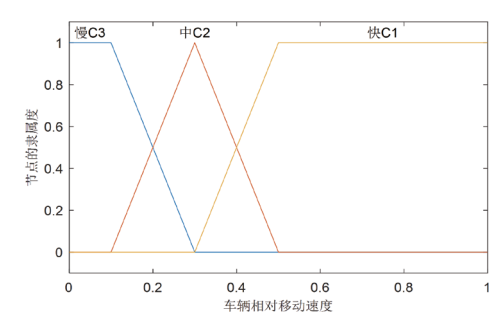


图 2 车辆相对移动速度的隶属函数

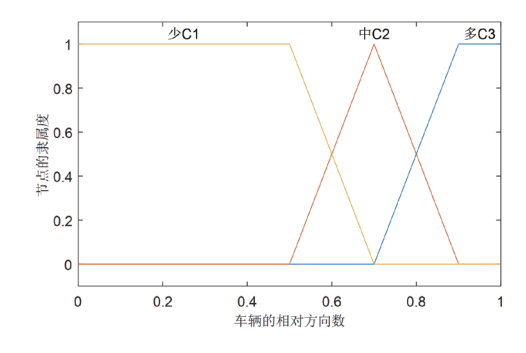


图 3 车辆的相对方向数的隶属函数

(4) 建立模糊评判矩阵

CR 隶属于评语集 V = (1, 2, 3) 的隶属度为: $r_1 = \{C_1(CR), C_2(CR), C_3(CR)\}$ 。

CV 隶属于评语集 V = (1, 2, 3) 的隶属度为: $r_2 = \{C_1(CV), C_2(CV), C_3(CV)\}$ 。

CD 隶属于评语集 V = (1, 2, 3) 的隶属度为:

$$r_3 = \{C_1(CD), C_2(CD), C_3(CF)\}$$

模糊评判矩阵为:

$$R = \begin{bmatrix} r_1 \\ r_2 \\ r_3 \end{bmatrix} = \begin{bmatrix} C_1 (CR) & C_2 (CR) & C_3 (CR) \\ C_1 (CV) & C_2 (CV) & C_3 (CV) \\ C_1 (CD) & C_2 (CD) & C_3 (CD) \end{bmatrix}$$
(10)

(5) 总评价函数 B

$$B = (b_{1}, b_{2}, b_{3}) = A \cdot R$$

$$= (a_{1}, a_{2}, a_{3}) \cdot \begin{bmatrix} C_{1}(CR) & C_{2}(CR) & C_{3}(CR) \\ C_{1}(CV) & C_{2}(CV) & C_{3}(CV) \\ C_{1}(CD) & C_{2}(CD) & C_{3}(CD) \end{bmatrix}$$
(11)

最终得到每辆车的簇首可选度 $S = V \cdot B = (1, 2, 3) \cdot (b_1, b_2, b_3)$ 。 各车辆根据节点邻居列表计算自身簇首可选度,读取跳数若小于 k 则加 1 后转发本车信息和簇首可选度,若为 k 则停止转发。信息充分交互后,每辆车都能够保存 k 跳内其他车辆的信息 $^{[7]}$ 。

1.3 簇建立

得到k跳内其他车辆的簇首可选度后,随选取一辆车m,选择其通信半径内簇首可选度最大的车辆为簇首,并向该车发送 HEAD 包,通知其为簇首。接到 HEAD 的车辆成为簇首,生成本簇编号(CLuID),并广播 LEAD 消息。

收到簇首消息的车辆,读取该 LEAD 包的跳数,若小于 k 则向此 LEAD 信息添加自身 ID 信息并跳数加 1 转发,若为 k 则停止转发。

未加入簇的车辆向簇首发送申请加入 JOIN 信息,收到 JOIN 信息的非簇首读取其中跳数信息,若小于 k 则将本车 ID 信息加入并将跳数加 1 转发,若为 k 则停止转发。

簇首收到 JOIN 信息后会判断本簇成员是否已满,未满则从接收到的相同车辆 ID 的信息中选取跳数最小的进行保存,可知簇首与此簇员最少跳数的通信链路,并发送同意加入的 AGREE 信息。已满则向其发送拒绝 REFUSE 信息。

簇中车辆收到簇首发送的 AGREE 信息后,则成功加入 簇。所有节点均成功加入簇后,簇建立阶段完成。

簇首向最近的 RSU 上报 LEAD 信息,完成 RSU 和簇成员上、下行数据传输的中继工作。

1.4 簇的维护

簇建立完成后,因网络拓扑变化,导致簇首无法继续担任这一职务,或有簇成员离开簇,或有新的车辆加入簇,都需要进行簇的维护^[11]。

当有簇成员离开本簇,一定时间内簇首无法接收到该簇成员消息,则从成员表中删除该成员。当簇内成员不足时,簇首将广播可容纳新成员的消息,网络中存在的孤立车辆节点则可申请加入,簇首收到申请加入的消息,如果该节点符合簇成员条件,则接收该节点入簇,完成簇的维护。

当簇首无法担任簇首时产生的簇成员变化,其他车辆将 定位附近的簇或启动新的簇建立过程。

2 仿真分析

2.1 参数设置

使用 MATLAB 软件对提出的分簇算法性能进行仿真, 仿真场景中每辆车位置随机产生,车辆移动速度在范围内随 机变化。参数设置如表 3,仿真多次并对结果取平均值。

表 3 城区应用场景仿真参数

参数名称	城区道路参数	
区域面积	1000 m×1000 m	
时长	300 s	
车辆数量	100, 200, 300	
车辆速度范围	10~30 km/h	
RSU 数量	5	

2.2 仿真结果与分析

簇的重组会产生额外开销和时延,降低车联网的稳定性,簇首持续时间较长则表明重组次数较少,网络较稳定。图 4 为不同网络容量场景下,依据簇首可选度算法与综合值 M = CR + CV + CD 最大为簇首的选举方法的平均簇首持续时间对比结果。

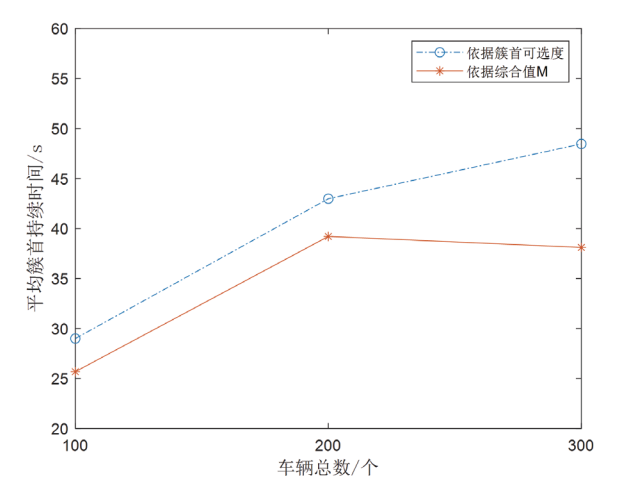


图 4 不同网络容量场景下平均簇首持续时间

可以看出,不同网络容量场景下,本文算法平均簇首 持续时间更优越,这是因为根据簇首可选度选举出的簇首因 为隶属函数的制约,使得簇内所有车辆当前时刻和未来时刻 的状态变化较小,簇首优势维持时间更长,最终簇内结构更 稳定。

3 结语

本文对城区场景下车联网分簇算法进行研究,分析了车 联网的网络特点和分簇机制,提出了一种依据簇首可选度进 行簇首选举的车联网分簇算法,将车辆节点间距离、车辆相 对移动速度和车辆的相对方向作为簇首选举的影响因素,引入模糊理论计算簇首可选度,并对簇首选举、簇建立和簇维护过程进行了设计,仿真表明本文算法平均簇首持续时间更优越,可减少更换簇首导致的时延,降低链路中断的概率,增强网络稳定性。

参考文献:

- [1] 周景旸,马若飞,王瑞松,等.基于博弈论的车联网通信中继选择算法研究[J].移动通信,2023,47(12):15-20.
- [2] 吴怡,杨琼,吴庆祥,等.基于自组织映射神经网络的 VANET 组网算法 [J]. 通信学报,2011,32(12):136-145.
- [3] 刘云,黄润根.基于移动性预测分簇算法的仿真设计[J]. 计算机测量与控制,2023,31(12):265-270+283.
- [4] 曾萍,赵耿,张沥文.一种车联网分簇算法研究[J]. 北京电子科技学院学报,2022,30(3):100-110.
- [5] 弓之箭, 苗笛, 李扬, 等. 一种基于 V-NDN 的车联网数据 转发决策算法 [J]. 物联网技术, 2023,13(11):40-44+47.
- [6] DEGRAUWE D, ROECK G D, LOMBAERT G. Uncertainty quantification in the damage assessment of a cablestayed bridge by means of fuzzy numbers[J]. Computers & structures, 2009, 87(17/18):1058-1066.
- [7] 白传栋, 武梦龙, 孙德辉. 基于副簇头的特殊环境下 VANET 分簇算法研究 [J/OL]. 太原理工大学学报,1-9 [2024-06-25]. http://kns.cnki.net/kcms/detail/14.1220. n.20210217.0925.002.html.
- [8] 吴晨杰.基于移动性的车联网分簇优化算法的研究与实现 [D]. 南京:南京邮电大学,2020.
- [9] 陶志勇, 蔣守凤. 基于模糊理论的无线传感器网络簇首选举算法 [J]. 计算机工程, 2015, 41(9):115-119.
- [10] 陆亚芳, 易可夫, 冯绪, 等. 基于模糊理论的无线传感器 网络多层分簇式路由算法 [J]. 传感技术学报, 2014, 27(7): 933-938.
- [11] 刘云,黄润根.基于移动性预测分簇算法的仿真设计[J]. 计算机测量与控制,2023,31(12):265-270+283.

【作者简介】

蒋守凤(1987—),女,满族,江苏泗阳人,硕士,讲师,研究方向:移动通信技术研究和教学。

(收稿日期: 2024-08-13)